

# Analyse et management des risques industriels



# Généralités

- S-1 ?

- 1. Modélisation des effets - généralités**
- 2. Théorie pour l'incendie**

# Analyse et management des risques industriels

- 1. Modélisation des effets - généralités**
2. Théorie pour l'incendie

# 1. Modélisation des effets - généralités



# 1. Modélisation des effets - généralités

5'



Source

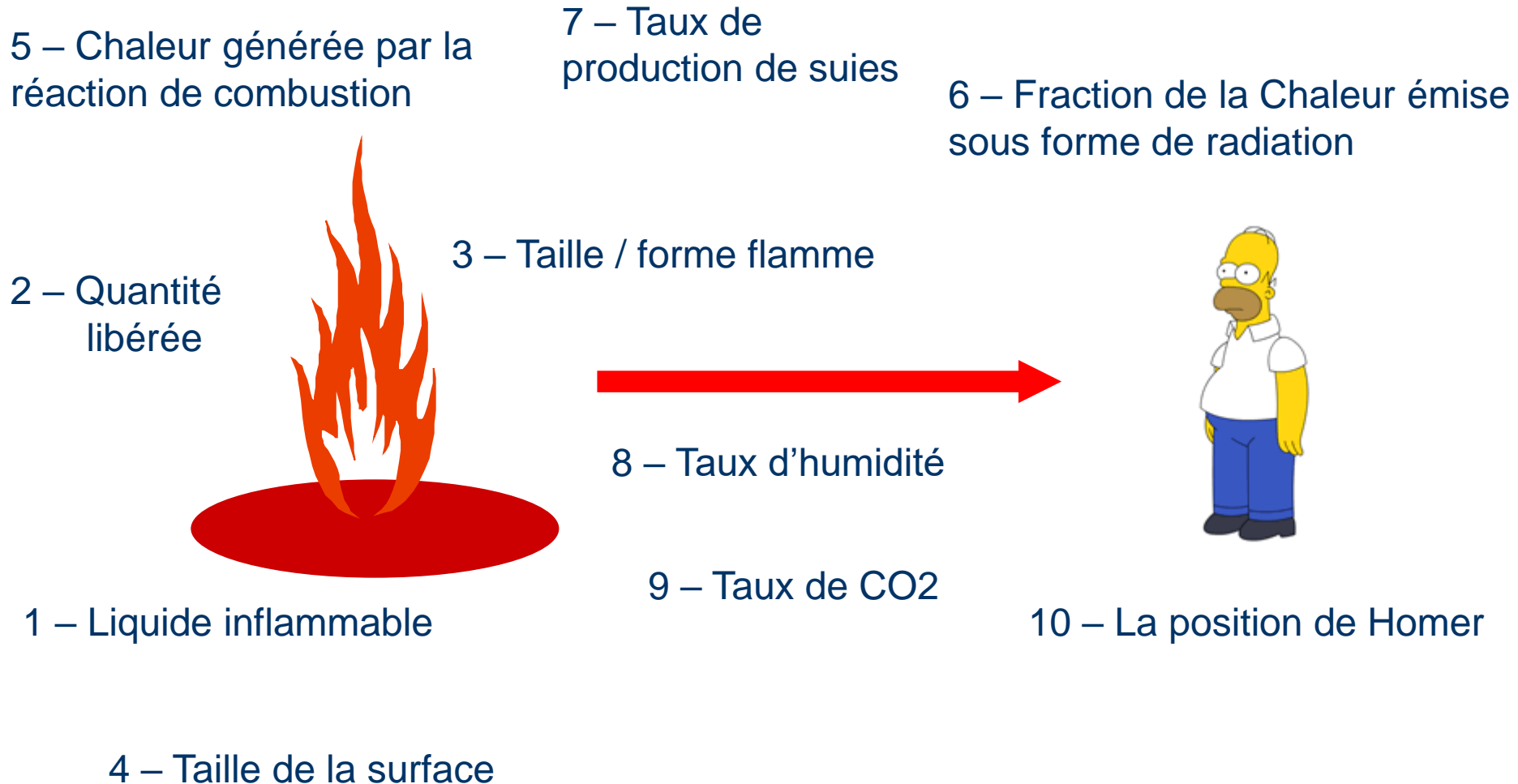


Milieu de propagation



Cible

# 1. Modélisation des effets - généralités



# 1. Modélisation des effets - généralités

- **Paramètres usuellement non intégrés**
  - **Spectre radiatif**
  - **T° non homogène**
  - **....**
- **Modélisation incendie**
  - **Problème très complexe**



# 1. Modélisation des effets - généralités

- **Modèles**

- **semi-empiriques (simple)**

- 1. **Sources ponctuelles : 1 ou multiple**

- **Pas de prédiction de la forme**

- 2. **Sources surfaciques**

- **Forme de type surface solide (géométrie simple)**

- **Dépend de données expérimentales**
      - **Simple à comprendre**
      - **Simple à calculer (puissance de calculs faibles)**
      - **Temps de calcul courts**

# 1. Modélisation des effets - généralités

- **Modèles**

- **Fields Models (très complexes)**

- **Equation des fluides de Navier-Stokes**
    - **Usuellement méca fluide sans combustion**
    - **Puissance de calculs très élevée**
    - **Temps de calcul très élevés**

- **Integral Models (complexes)**

- **Modèles intermédiaires**
    - **Equations « Fields Models » simplifiées**

# Analyse et management des risques industriels

1. Modélisation des effets - généralités
- 2. Théorie pour l'incendie**

## 2. Théorie pour l'incendie

- **Quantité libérée (modèles numériques)**
  - **Ecoulement liquide**
  - **Libération gazeuse**
  - **Ecoulement bi-phasique**

5'

- **Type de feux**

## 2. Théorie pour l'incendie

- **Quantité libérée (modèles numériques)**
  - **Ecoulement liquide**
  - **Libération gazeuse**
  - **Ecoulement bi-phasique**
- **Type de feux**
  - **feux de flaque pool fires (sur sol ou eau)**
  - **jet de flamme (torche)**
  - **boule de feu**
  - **feux « confinés »**

5'

## 2. Théorie pour l'incendie

- **Feu d'hydrocarbures**
  - **Equation générale**

$$q'' = \text{SEP}_{\text{act}} \times F_{\text{view}} \times \tau_a \quad \text{J/(m}^2\cdot\text{s)}$$

in which:

- $q''$  = Heat flux at a certain distance, in J/(m<sup>2</sup>·s)
- $\text{SEP}_{\text{act}}$  = Actual surface emissive power, in J/(m<sup>2</sup>·s)
- $F_{\text{view}}$  = View factor
- $\tau_a$  = Atmospheric transmissivity

## 2. Théorie pour l'incendie

- **Surface Emissive Power (SEP)**

$$SEP_{\text{theor}} = Q'/A \quad J/(m^2 \cdot s)$$

in which:

$SEP_{\text{theor}}$  = Theoretical Surface Emissive Power, in  $J/(m^2 \cdot s)$

$Q'$  = Combustion energy per second, in J/s

$A$  = Surface area of the flame, in  $m^2$

## 2. Théorie pour l'incendie

$$SEP_{\max} = F_s \times SEP_{\text{theor}} \quad \text{J/(m}^2\cdot\text{s)} \quad (6.3)$$

in which:

$SEP_{\max}$  = The maximum Surface Emissive Power from a flame without soot production, in J/(m<sup>2</sup>·s)

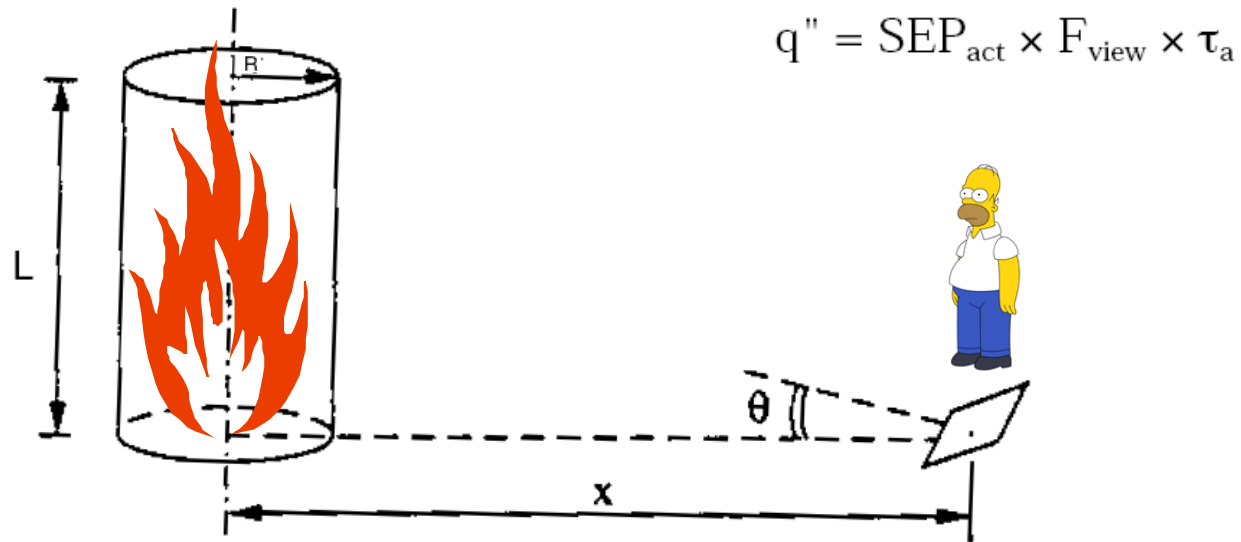
$F_s$  = Fraction of the combustion energy radiated from the flame surface

- **$F_s = f(\text{type de flamme, type hydrocarbures})$**



## 2. Théorie pour l'incendie (s-e pool fires)

### ➤ Modèle Surfacique



### ➤ 12 étapes

## 2. Théorie pour l'incendie (s-e pool fires)

- **Etape 1 – Diamètre**
  - **Surface réelle irrégulière**
    1. **Equivalent (géométrie simple)**

$$D = (4 \times A_p / \pi)^{1/2}$$

in which:

$D$  = Pool diameter, in m

$A_p$  = Surface area of the pool, in m<sup>2</sup>

Modèle cylindrique 1

**2. V et  $\delta$**       $D = (4 \times V / (\pi \times \delta))^{1/2}$

Modèle cylindrique 2

➤ **si  $L > 2 l$**

Modèle plan

## 2. Théorie pour l'incendie (s-e pool fires)

- **Etape 2 – Taux de combustion**

$$m'' = m_{\infty}'' \times (1 - e^{-k \times \beta \times D}) \quad (\text{kg}/(\text{m}^2 \cdot \text{s}))$$

in which:

$m''$  = Burning rate at still weather conditions, in  $\text{kg}/(\text{m}^2 \cdot \text{s})$

$m_{\infty}''$  = see  $m''$  for  $D \rightarrow \infty$  (see also table 6.5)

$k$  = Absorption extinction coefficient of the flame, in  $\text{m}^{-1}$

$\beta$  = Mean beam length corrector

$$\triangleright (1 - e^{-k \times \beta \times D}) > 0.95 \text{ si } D > 1\text{m}$$

## 2. Théorie pour l'incendie (s-e pool fires)

- Etape 2 – Taux de combustion**

Table 6.5

Flammable material	$m_{\infty}''$ (kg/(m <sup>2</sup> .s))	$k \times \beta$ (m <sup>-1</sup> )	$k$ (m <sup>-1</sup> )	$T_f$ (K)
Liq. H <sub>2</sub>	0.169	6.1	-	1600
LNG	0.078	1.1	0.5	1500
LPG	0.099	1.4	0.4	-
Butane	0.078	2.7	-	-
Hexane	0.074	1.9	-	-
Heptane	0.101	1.1	-	-
Benzene	0.085	2.7	4.0	1490
Xylene	0.090	1.4	-	-
Gasoline	0.055	2.1	2.0	1450
Kerosene	0.039	3.5	2.6	1480
JP-5	0.054	1.6	0.5	1250
Methanol	0.015	1)	-	1300
Ethanol	0.015	1)	0.4	1490

## 2. Théorie pour l'incendie (s-e pool fires)

- **Etape 2 – Taux de combustion**

➤ **Calcul alternatif**

$$m'' = c_8 \times \Delta H_c / (\Delta H_v + C_p \times (T_b - T_a)) \quad (\text{kg}/(\text{m}^2 \cdot \text{s})) \quad (6.67)$$

in which:

$$c_8 = 0.001 \text{ kg}/(\text{m}^2 \cdot \text{s})$$

$$\Delta H_c = \text{The heat of combustion of the flammable material and its boiling point in J/kg}$$

$$\Delta H_v = \text{The heat of vaporisation of the flammable material and its boiling point, in J/kg}$$

$$C_p = \text{The heat capacity in J}/(\text{kg} \cdot \text{K})$$

$$T_b = \text{The liquid boiling temperature, in K}$$

$$T_a = \text{Ambient temperature in K}$$

## 2. Théorie pour l'incendie (s-e pool fires)

- **Etape 3 – Hauteur de la flamme**

$$L/D = 55 \times (m''/(\rho_{\text{air}} \times (g \times D)^{1/2}))^{0.67} \times (u^*)^{-0.21}$$

in which:

L = Average flame height, in m

## 2. Théorie pour l'incendie (s-e pool fires)

- **Etape 4 – Hauteur de la flamme**

Determine the scaled wind velocity  $u^*$

$$u^* = u_w / u_c$$

in which:

$u_w$  = Wind velocity at height of 10 metres, in m/s

## 2. Théorie pour l'incendie (s-e pool fires)

- **Etape 5 – Hauteur de la flamme**

$$u_c = (g \times m'' \times D / \rho_{\text{air}})^{1/3} \quad (\text{m/s})$$

in which:

$u_c$  = Characteristic wind velocity, in m/s

$g$  = Gravitational acceleration  $9.81 \text{ m/s}^2$

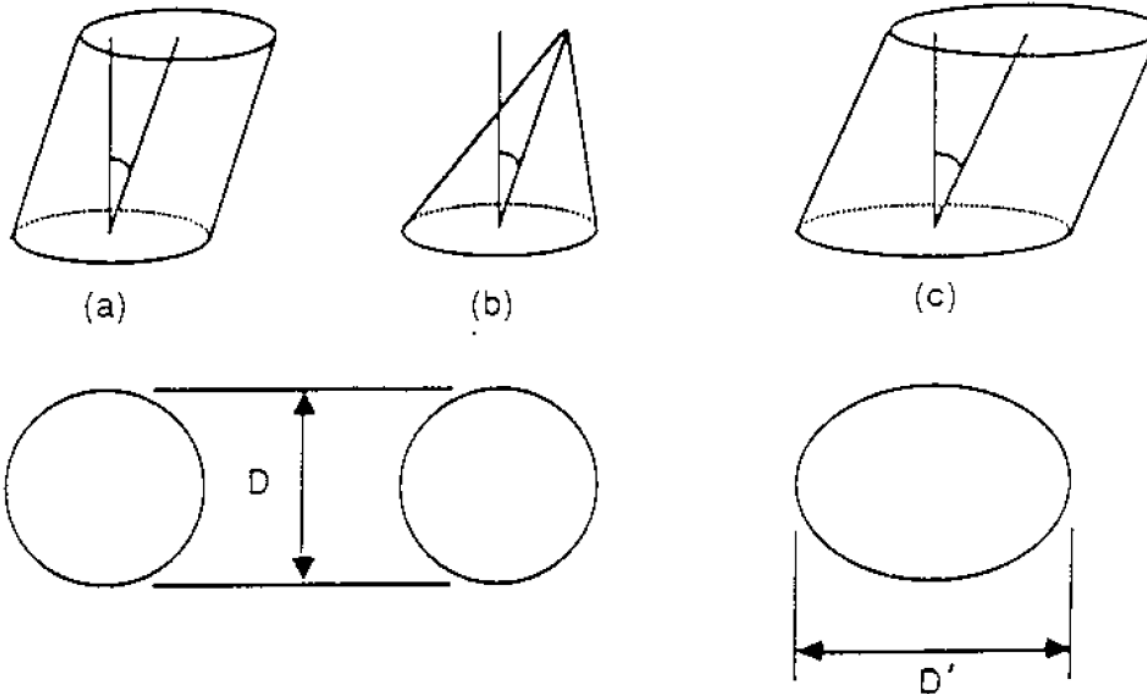
$m''$  = Burning flux in still weather conditions, in  $\text{kg}/(\text{m}^2 \cdot \text{s})$

$D$  = Pool diameter, in m



## 2. Théorie pour l'incendie (s-e pool fires)

- **Etape 6a/6b - Inclinaison / Déformation**



## 2. Théorie pour l'incendie (s-e pool fires)

- **Etape 6 – Inclinaison**

$$\Theta = \arcsin(((4 \times c^2 + 1)^{1/2} - 1)/(2 \times c))$$

$$\text{Avec } C = \tan\Theta/\cos\Theta = 0.666 \times (Fr_{10})^{0.333} \times (Re)^{0.117}$$

## 2. Théorie pour l'incendie (s-e pool fires)

- **Etape 6 – Inclinaison**

$$Fr_{10} = u_w^2 / (g \times D) \quad (-)$$

in which:

$Fr_{10}$  = Froude number for wind velocity at a height of 10 metres

$$Re = u_w \times D / \nu \quad (-)$$

in which:

$\nu$  = Kinematic viscosity of air, in  $m^2/s$

## 2. Théorie pour l'incendie (s-e pool fires)

- **Etape 7 - SEP**

$$SEP_{\max} = F_s \times m'' \times \Delta H_c / (1 + 4 \times L/D) \quad (J/(m^2 \cdot s))$$

in which:

$SEP_{\max}$  = Maximum Surface Emissive Power, in  $J/(m^2 \cdot s)$

$F_s$  = Fraction of the generated heat radiated from the flame surface

$m''$  = Burning rate, in  $kg/(m^2 \cdot s)$

$\Delta H_c$  = Heat of combustion, in  $J/kg$

$L$  = Average height of flame, in  $m$

$D$  = Pool diameter, in  $m$

## 2. Théorie pour l'incendie (s-e pool fires)

- **Etape 7 – SEP**

Substance	Pool diameter (m)	Radiation fraction $F_s$ (-)
methanol	0.076	0.162
	0.152	0.165
	1.22	0.177
methane	0.305	0.21
	0.76	0.23
	1.53	0.15-0.24
	3.05	0.24-0.34
	6.10	0.20-0.27
butane	0.305	0.199
	0.457	0.205
	0.76	0.269
gasoline	1.22	0.30-0.40
	1.53	0.16-0.27
	3.05	0.13-0.14
benzene	0.076	0.350
	0.457	0.345
	0.76	0.350
	1.22	0.360

$$0,1 < F_s < 0,4$$

## 2. Théorie pour l'incendie (s-e pool fires)

- **Etape 7 - SEP**

$$SEP_{act} = SEP_{max} \times (1 - \varsigma) + SEP_{soot} \times \varsigma \quad (J/(m^2 \cdot s))$$

in which:

$SEP_{act}$  = Actual surface emissive power, in  $J/(m^2 \cdot s)$

$SEP_{soot}$  = The surface emissive power of soot, which is about  $20 \cdot 10^3 J/(m^2 \cdot s)$

## 2. Théorie pour l'incendie (s-e pool fires)

- **Etape 8 – Taux absorption H2O**

$$p_w = RH \times p_w^o$$

in which:

RH = Relative humidity, fraction between 0 and 1

$p_w^o$  = Saturated vapour pressure of water in air, in  $\text{N/m}^2$

Calculate  $p_w \times x$

From Figure 6.2  $\alpha_w$  in relation to  $p_w \times x$  can be found

**Par défaut,  $T_f = 1'200\text{K}$**

## 2. Théorie pour l'incendie (s-e pool fires)

- **Etape 9 – Taux absorption CO<sub>2</sub>**

Calculate  $p_c \times x$

From Figure 6.3  $\alpha_c$  in relation to  $p_c \times x$  can be found



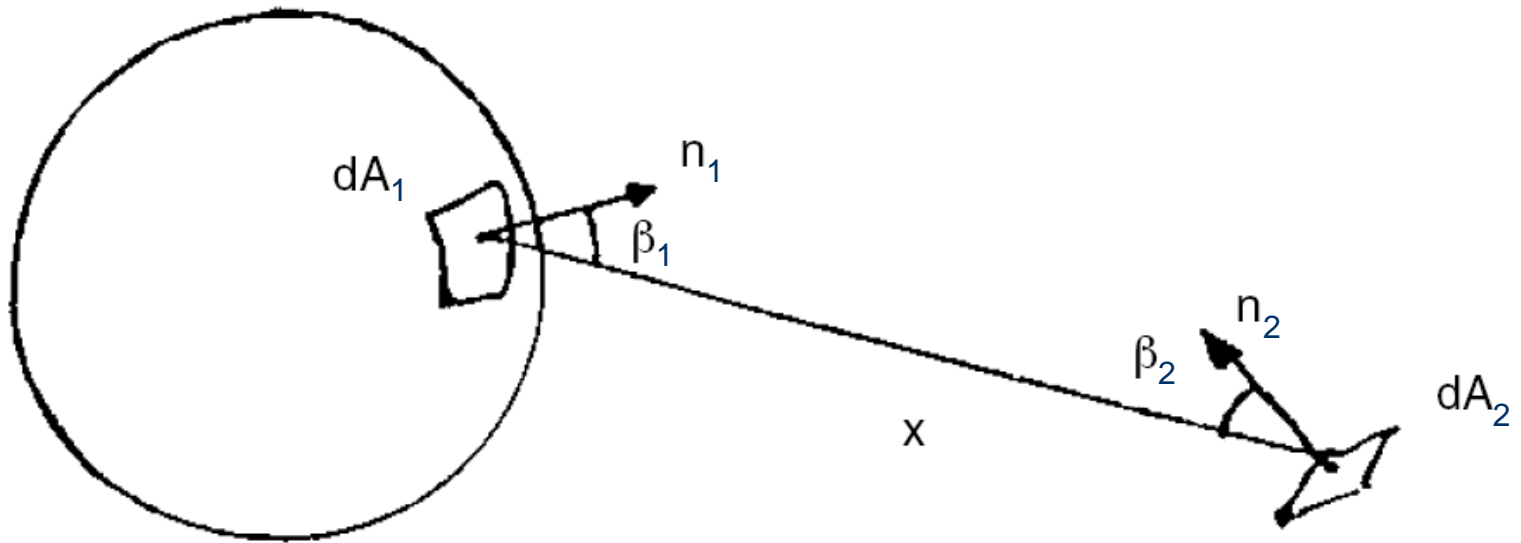
## 2. Théorie pour l'incendie (s-e pool fires)

- **Etape 10 - Transmissivité**

$$\tau_a = 1 - \alpha_w - \alpha_c$$

## 2. Théorie pour l'incendie (s-e pool fires)

- **Etape 11 – Facteur de forme**



## 2. Théorie pour l'incendie (s-e pool fires)

- **Etape 11 – Facteur de forme**

$$d^2\Phi_{12} = L_1 \cdot dS_1 \cdot \cos \theta_1 \cdot d\Omega_1$$

Avec 
$$d\Omega_1 = \frac{dS_2 \cdot \cos \theta_2}{d^2}$$

$$d^2\Phi_{12} = L_1 \cdot \frac{dS_2 \cdot \cos \theta_2 \cdot dS_1 \cdot \cos \theta_1}{d^2}$$

## 2. Théorie pour l'incendie (s-e pool fires)

- **Etape 11 – Facteur de forme**

$$d^2\Phi_{12} = \frac{L_1^0 dS_1 \cos\theta_1 dS_2 \cos\theta_2}{d^2}$$

$$d^2\Phi_{12} = \frac{M_1^0 dS_1 \cos\theta_1 dS_2 \cos\theta_2}{\pi d^2}$$

$$\Phi_{12} = M_1^0 \int_{S_1} \int_{S_2} \frac{dS_1 \cos\theta_1 dS_2 \cos\theta_2}{\pi d^2}$$

## 2. Théorie pour l'incendie (s-e pool fires)

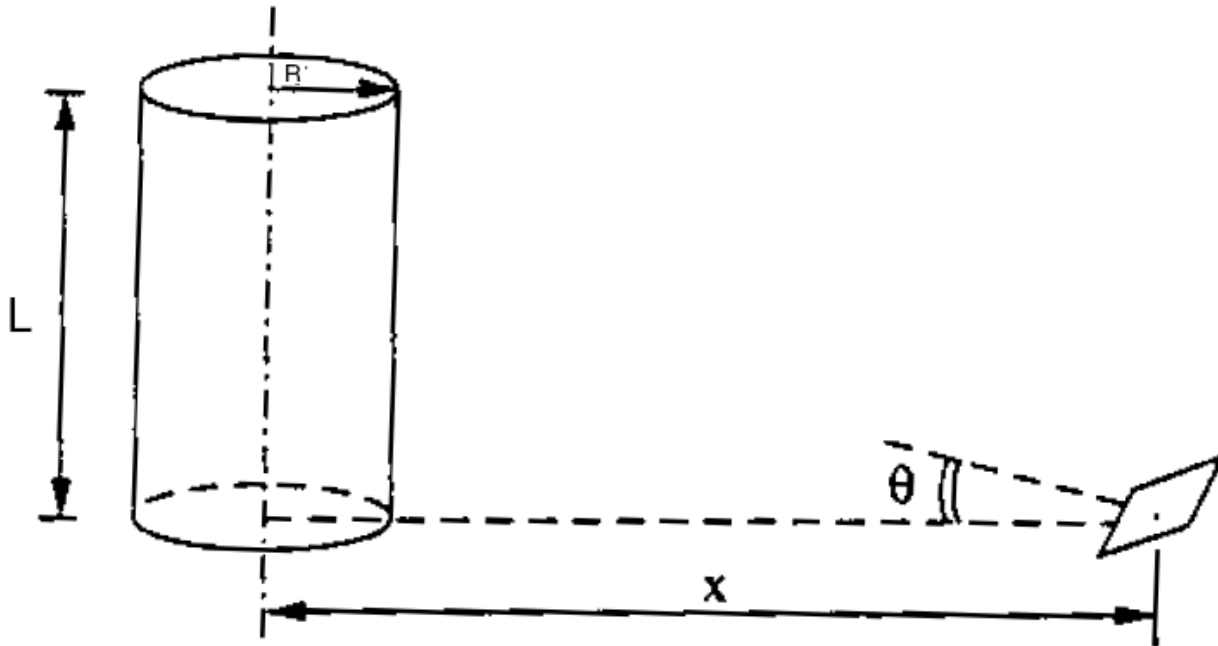
- **Etape 11 – Facteur de forme**

$$F_{12} = \frac{\Phi_{12}}{\Phi_1} = \frac{\Phi_{12}}{M_1^0 \cdot S_1}$$

$$F_{12} = \frac{1}{\pi S_1} \int_{S_1} \int_{S_2} \frac{dS_1 \cos \theta_1 dS_2 \cos \theta_2}{d^2}$$

## 2. Théorie pour l'incendie (s-e pool fires)

- **Etape 11 – Facteur de forme**



## 2. Théorie pour l'incendie (s-e pool fires)

- **Etape 11 – Facteur de forme**

$$h_r = L/R$$

$$x_r = X/R$$

$$A = (x_r + 1)^2 + h_r^2$$

$$B = (x_r - 1)^2 + h_r^2$$

## 2. Théorie pour l'incendie (s-e pool fires)

- **Etape 11 – Facteur de forme**

then, for a horizontal plane at ground level ( $\theta = \pi/2$ ):

$$F_h = \frac{1}{\pi} \left\{ \tan^{-1} \sqrt{\frac{x_r + 1}{x_r - 1}} - \left( \frac{x_r^2 - 1 + h_r^2}{\sqrt{AB}} \right) \tan^{-1} \sqrt{\frac{(x_r - 1)A}{(x_r + 1)B}} \right\} \quad (6)$$

and for a vertical plane at ground- level ( $\theta = 0$ ):

$$F_v = \frac{1}{\pi} \left\{ \frac{1}{x_r} \tan^{-1} \left( \frac{h_r}{\sqrt{x_r^2 - 1}} \right) + \left( \frac{h_r(A - 2x_r)}{x_r \sqrt{AB}} \right) \tan^{-1} \sqrt{\frac{(x_r - 1)A}{(x_r + 1)B}} - \frac{h_r}{x_r} \tan^{-1} \sqrt{\frac{x_r - 1}{x_r + 1}} \right\}$$



## 2. Théorie pour l'incendie (s-e pool fires)

- **Etape 12 – Flux reçu à une distance x**

$$q'' = SEP_{\text{act}} \times F_{\text{view}} \times \tau_a \quad (\text{J}/(\text{m}^2 \cdot \text{s}))$$

## 2. Théorie pour l'incendie (s-e pool fires)

- **Modèle point**

$$q'' = F_s \times m_h' \times \Delta H_c / (4 \times \pi \times X^2) = F_s \times m_h' \times \frac{\Delta H_c}{4 \times \pi \times X^2} \quad (\text{J}/(\text{m}^2 \cdot \text{s}))$$

in which:

$q''$  = Heat flux, in  $\text{J}/(\text{m}^2 \cdot \text{s})$

$F_s$  = Fraction of the combustion heat radiated from the flame surface

$m_h'$  = Burning rate, in  $\text{kg/s}$

$\Delta H_c$  = Net heat of combustion at the boiling point of the flammable material,  
 $\text{J/kg}$

$X$  = The distance from the source to the receiver, in  $\text{m}$

➤ **Peu précis**

## 2. Théorie pour l'incendie (s-e pool fires)

- **Modèles semi-empiriques aussi pour**
  - **Feu de flaque non circonscrite**
    - 1<sup>er</sup> temps augmentation de la surface donc augmentation du taux de combustion
    - puis stabilisation car taux de combustion égal au débit de fuite
  - **Feu de torche**
  - **Boule de feu**

## 2. Théorie pour l'incendie (s-e fire ball)

- **Rappel du phénomène**



BLEVE - exemple 3 large.flv



BLEVE - exemple 2 large.flv

## 2. Théorie pour l'incendie (s-e fire ball)

- **Etape 1 – Quantité impliquée**

$$m = V_{\text{rel}} \times \rho_{\text{mat}} = f \times V \times \rho_{\text{mat}} \quad (\text{kg}) \quad (6.89)$$

$m$  = Mass of the flammable material, in kg

$f$  = Fraction of the volume of the pressure tank, filled with the flammable liquefied pressurised gas

$V$  = Volume of the tank, in  $\text{m}^3$

$V_{\text{rel}}$  = Amount of e.g. LPG which will be released in case of a complete tank failure

$\rho_{\text{mat}}$  = Density of the flammable material in the pressure tank, in  $\text{kg}/\text{m}^3$

## 2. Théorie pour l'incendie (s-e fire ball)

- **Etape 2 – Rayon de la boule**

$$r_{fb} = c_9 \times m^{0.325} \quad (m)$$

In which:

$$c_9 = 3.24 \text{ m/kg}^{0.325}$$

$r_{fb}$  = Radius of the fireball, in m

$m$  = Mass of the flammable material, in kg

## 2. Théorie pour l'incendie (s-e fire ball)

- **Etape 3 – Durée de la boule**

$$t = c_{10} \times m^{0.26} \quad (s)$$

in which:

$$c_{10} = 0.852 \text{ s/kg}^{0.26}$$

t = Duration of the fireball, in s

m = Mass of the flammable material, in kg

## 2. Théorie pour l'incendie (s-e fire ball)

- **Etape 4 – Hauteur de la boule**

$$H_{\text{bleve}} = 2 \times r_{\text{fb}} \quad (\text{m}) \quad (6.22)$$

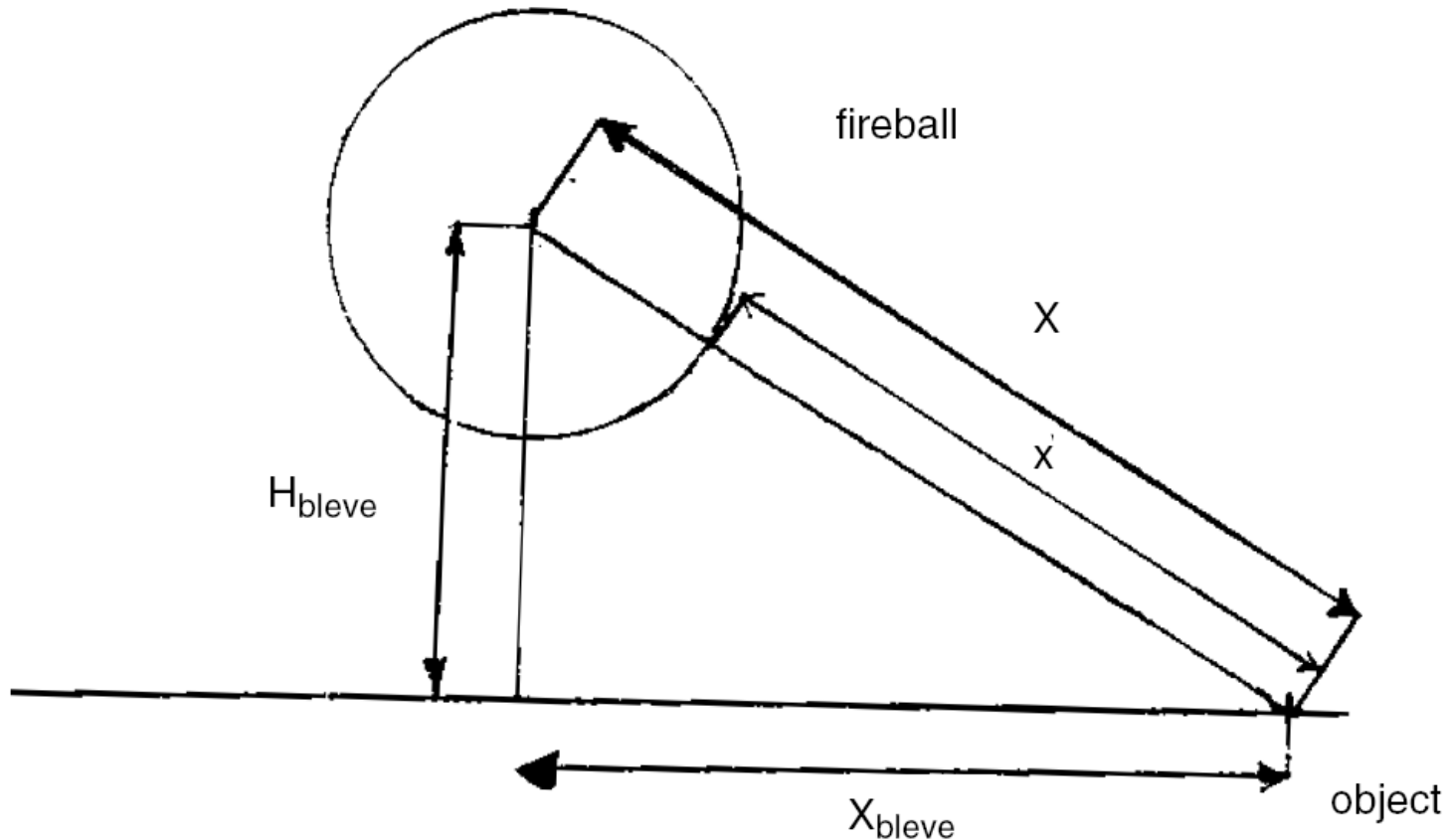
in which:

$H_{\text{bleve}}$  = Height from the centre of the fire ball to the ground under the fire ball, in m



## 2. Théorie pour l'incendie (s-e fire ball)

- **Etape 5 – Distance Boule/récepteur**



## 2. Théorie pour l'incendie (s-e fire ball)

### • Etape 5 – Distance Boule/récepteur

$$X = (x_{\text{bleve}}^2 + H_{\text{bleve}}^2)^{1/2} \quad (\text{m}) \quad (6.92)$$

In which:

$x_{\text{bleve}}$  = Distance measured over the ground from the projected centre of the fire ball on the ground under the fire ball, and the object, in m

$H_{\text{bleve}}$  = Height from the centre of the fire ball to the ground under the fire ball, in m

$X$  = Distance from the centre of the fire ball to the radiated object, in m

$$x = X - r_{\text{fb}} \quad (\text{m})$$

in which:

$x$  = Distance from the surface area of the flame to the object, in m

## 2. Théorie pour l'incendie (s-e fire ball)

- **Etape 6 – Facteur de forme**

$$F_{\text{view}} = (r_{\text{fb}}/X)^2 \quad (-)$$

in which:

$F_{\text{view}}$  = Geometric view factor, dimensionless

$r_{\text{fb}}$  = Radius of the fire ball, in m

$X$  = Distance from the centre of the fire ball to the radiated object, in m

## 2. Théorie pour l'incendie (s-e fire ball)

- **Etape 7 – Fraction irradiée**

$$F_s = c_6 \times (P_{sv})^{0.32} \quad (-)$$

in which:

$$c_6 = 0.00325 \text{ (N/m}^2\text{)}^{0.32}$$

$$P_{sv} = \text{Vapour pressure of flammable material inside the vessel, in N/m}^2$$

## 2. Théorie pour l'incendie (s-e fire ball)

- **Etape 8 – Chaleur de Combustion**

$$\Delta H = \Delta H_c - \Delta H_v - C_p \times \Delta T \quad (\text{J/kg}) \quad (6.94)$$

in which:

$\Delta H$  = Nett available heat, in J/kg

$\Delta H_c$  = Combustion heat of the flammable material at its boiling point, in J/kg

$\Delta H_v$  = Vaporisation heat of the flammable material at its boiling point, in J/kg

$C_p$  = Specific heat capacity at constant pressure, J/(kg·K)

$\Delta T$  = Temperature difference between flame and ambient temperature, in K

Assume  $\Delta T = 1700 \text{ K}$

## 2. Théorie pour l'incendie (s-e fire ball)

- **Etape 9 – SEP**

$$SEP_{act} = \Delta H \times m \times F_s / (4 \times \pi \times r_{fb}^2 \times t) \quad (J/(m^2 \cdot s)) \quad (6.95)$$

in which:

$SEP_{act}$  = Actual Surface Emissive Power, SEP, in  $J/(m^2 \cdot s)$ , which is the average radiation emittance (emissive power) of the flame surface.

$SEP_{max}$  = Maximum Surface Emissive Power, in  $J/(m^2 \cdot s)$ .

If it is assumed that there is no soot formation, then  $SEP_{act} = SEP_{max}$

## 2. Théorie pour l'incendie (s-e fire ball)

- **Etape 10 – Absorption H2O**

$$\alpha_w$$

- **Etape 11 – Absorption CO2**

$$\alpha_c$$

## 2. Théorie pour l'incendie (s-e fire ball)

- **Etape 12 – Transmissivité**

$$\tau_a = 1 - \alpha_w - \alpha_c$$



## 2. Théorie pour l'incendie (s-e fire ball)

- **Etape 13 – Rayonnement au point P**

$$q'' = SEP_{\text{act}} \times F_{\text{view}} \times \tau_a \quad (\text{J}/(\text{m}^2 \cdot \text{s}))$$

in which:

$q''$  = Heat flux at a certain distance, in  $\text{J}/(\text{m}^2 \cdot \text{s})$

$\tau_a$  = Atmospheric transmissivity